

بیان ژن *PI6* در بیماران مبتلا به لوسمی میلوئیدی مزمن

مینا برازنده رخ^۱، نیکو نصوحی^۲، مجتبی ملایی^۳، پرویز فلاح^۴

چکیده

سابقه و هدف

لوسمی میلوئیدی مزمن، یک اختلال کلونال سلول‌های بنیادی می‌باشد که علت آن اختلال درگیرنده تیروزین کینازی BCR-ABL است. ژن سرکوبگر تومور *PI6*، کنترل‌کننده چرخه سلولی است. غیرفعال شدن این ژن با تومورزایی، پاتوژنز و پیشروی لوسمی در ارتباط می‌باشد. هدف از این مطالعه، بررسی بیان ژن *PI6* در بیماران مبتلا به لوسمی میلوئیدی مزمن بود تا با شناسایی تغییرات بیان این ژن بتوان نقش آن را در پاتوفیزیولوژی بیشتر این بیماری مشخص نمود.

مواد و روش‌ها

در یک مطالعه توصیفی، میزان بیان ژن *PI6* در ۴۰ بیمار CML در فاز مزمن و ۸ فرد سالم به عنوان کنترل که به آزمایشگاه تشخیص طبی پیوند مراجعه کرده بودند، با روش Real Time PCR و نرم‌افزار آماری REST2009 بررسی شد.

یافته‌ها

ژن *PI6* در بیماران CML در ۳۲ بیمار به طور معناداری نسبت به گروه کنترل کاهش بیان داشت و در ۸ بیمار به طور معناداری نسبت به گروه کنترل افزایش بیان داشت ($p \leq 0/05$).

نتیجه‌گیری

با توجه به مطالعه‌های انجام شده، کاهش یا بیان بیش از حد این تومور سرکوبگر می‌تواند در مکانیسم مولکولی این بیماری نقش داشته باشد و در CML با پیشرفت این بیماری در ارتباط باشد، از این رو به مطالعه‌های بیشتری نیاز است تا عملکرد دقیق این مهارکننده تومور در سرطان مشخص شود.

کلمات کلیدی: لوسمی میلوئیدی مزمن، PCR، سلول‌های بنیادی خونساز

تاریخ دریافت: ۹۶/۶/۱۰

تاریخ پذیرش: ۹۷/۲/۳۰

۱- کارشناس ارشد ژنتیک - دانشکده علوم و فناوری نوین - واحد علوم دارویی دانشگاه آزاد اسلامی - تهران - ایران

۲- دکترای ژنتیک - استادیار دانشکده علوم و فناوری نوین - واحد علوم دارویی دانشگاه آزاد اسلامی - تهران - ایران

۳- کارشناس علوم آزمایشگاهی - دانشکده پیراپزشکی دانشگاه علوم پزشکی البرز - کرج - ایران

۴- مؤلف مسئول: PhD هماتولوژی و بانک خون - استادیار دانشکده پیراپزشکی - دانشگاه علوم پزشکی البرز - کرج - ایران - کدپستی: ۳۱۴۷۷۳۴۵۶۸

مقدمه

وسیع‌تری از بافت‌ها و سلول‌ها بیان می‌شود. پروتئین P16 با اتصال به CDK4 مانع از برهمکنش آن با سیکلین D می‌شود و به عبور سلول از مرحله G1 چرخه سلولی کمک می‌کند. این پروتئین در اغلب سرطان‌ها غیر فعال می‌شود. هم‌چنین P16 تنظیم‌کننده مسیرهای کنترل چرخه سلولی مهمی از جمله P53 و Rb است. مهار آن به واسطه حذف، جهش نقطه‌ای و یا متیلاسیون پروموتور رخ می‌دهد(۵).

در CML نقش P16 در روند پیشروی این بیماری به درستی شناخته نشده است. اما در فاز بلاستیک این بیماری موتاسیون P16 گزارش شده است(۶).

هدف از این مطالعه، بررسی بیان ژن P16 در بیماران مبتلا به لوسمی میلوئیدی مزمن بود تا با شناسایی تغییرات بیان ژن و آنالیز تغییرات مولکولی دخیل در بدخیمی‌های سلولی بتوان از آن در تشخیص و درمان بیماری استفاده نمود.

مواد و روش‌ها

جمع‌آوری نمونه از بیماران و افراد سالم:

در این مطالعه تجربی، از ۴۰ بیمار تازه تشخیص داده شده CML در فاز مزمن و از ۸ فرد سالم به عنوان کنترل، ۵ میلی‌لیتر خون محیطی همراه با ضد انعقاد EDTA از آزمایشگاه تشخیص طبی و تخصصی پیوند جمع‌آوری شد. معیارهای انتخاب بیماران بر اساس یافته‌های مورفولوژیکی خون‌شناسی خاص لوسمی میلوئیدی مزمن (از جمله افزایش تعداد گلبول‌های سفید، افزایش رده میلوئیدی مانند پرومیلوцит و نوتروفیل در خون محیطی) و هم‌چنین آزمایش مثبت PCR برای ترانسلوکاسیون کروموزوم ۹ و ۲۲ بود. تمامی بیماران در فاز مزمن بودند و هیچ‌گونه دارویی مصرف نکرده بودند. معیار انتخاب افراد کنترل و سالم، نداشتن هیچ‌گونه بیماری از جمله بدخیمی‌های خونی و دیگر بدخیمی‌ها بود.

استخراج RNA:

به طور ثابت برای هر یک از نمونه‌های بیمار و کنترل، ۱۰۰ میکرولیتر از بافی‌کوت (لایه سفید مایل به خاکستری

لوسمی میلوئیدی مزمن (Chronic Myelogenous Leukemia: CML)، یک اختلال کلونال سلول‌های بنیادی مغز استخوان است که در آن، سلول‌های گرانولوسیت بالغ (نوتروفیل، ائوزینوفیل و بازوفیل) و پیش‌سازهای آن‌ها، گسترش می‌یابد. این نوع از اختلالات میلوپرولیفراتیو با ترانسلوکاسیون کروموزومی به نام کروموزوم فیلادلفیا همراه می‌باشد. پروتئین BCR-ABL به صورت مداوم فعالیت تیروزین‌کینازی دارد و به فعال‌سازی توسط سایر پروتئین‌های پیام‌رسانی سلولی، نیاز ندارد. به نوبه خود، BCR-ABL، باعث فعالیت آبشاری پروتئین‌هایی می‌شود که در بالا بردن سرعت تقسیم و کنترل چرخه سلولی نقش دارند. علاوه بر این، پروتئین BCR-ABL باعث ناپایداری ژنومی و مستعد شدن فرد به دیگر اختلالات کروموزومی، می‌شود. فعالیت این پروتئین علت پاتوفیزیولوژیک بیماری لوسمی میلوئیدی مزمن می‌باشد(۱). این بیماری دارای سه مرحله پایدار، مزمن (Chronic Phase: CP)، تسریع شده (پیش رونده) (Accelerated Phase: AP) و بلاستیک (Blast Crisis: BC) می‌باشد. در بسیاری از بیماران، طول مرحله پایدار و مزمن بیماری ۴ سال است و پس از گذر از مرحله پیش‌رونده، وارد فاز بلاستیک می‌شوند. در سال ۲۰۱۴ این بیماری در مردان ۳٪ از انواع سرطان‌ها را به خود اختصاص داده است. در کشورهای غربی، CML حدود ۱۵٪ تا ۲۰٪ از لوسمی‌های بزرگسالان، ۱۴٪ از کل لوسمی‌ها (از جمله لوسمی‌های مربوط به کودکان) و ۲٪ از لوسمی‌های کودکان را تشکیل می‌دهد. میزان بقای ۵ ساله در این بیماران به علت کشف مهارکننده تیروزین‌کیناز BCR-ABL به میزان ۶۳٪ بین سال‌های ۲۰۰۳ تا ۲۰۱۱ افزایش یافته است(۲). فعالیت بیش از حد تیروزین‌کینازی BCR-ABL باعث فعال‌شدن مسیرهای سیگنال‌دهی و اختلالات تنظیمی در پروسه‌های مختلف سلولی می‌شود. مسیرهای پایین‌دست BCR-ABL با بقا و تکثیر سلولی، چرخه سلولی، تمایز سلولی و آپوپتوزیس در ارتباط می‌باشد(۳، ۴).

پروتئین P16 پروتئینی ۱۵۶ اسید آمینه‌ای در گستره

میکرولیتر از RT-Buffer، ۳ میکرولیتر از dNTP به همراه ۱ میکرولیتر آنزیم RT (Reverse Transcriptase) مورد رونویسی معکوس قرار گرفت. cDNA های ساخته شده در دمای ۲۰- درجه سانتی‌گراد نگهداری شدند.

بررسی بیان ژن با روش Real Time PCR:

سنجش میزان بیان ژن‌ها با روش Real Time PCR در دستگاه StepOne ABI شرکت بیوسیستم صورت گرفت. در این تحقیق ژن بتا دو میکروگلوبولین (B2) به عنوان ژن استاندارد و House keeping gene در نظر گرفته شد. رنگ فلورسنتی که برای Real Time PCR مورد استفاده قرار می‌گیرد سایبرگرین I است که رنگ متصل شونده به DNA دو رشته‌ای است. از RealQ Plus 2X Master Mix از Green, high ROX شرکت آمپلیکون استفاده شد. مواد مورد استفاده که برای هر واکنش مورد استفاده قرار گرفت بر این اساس است (جدول ۱):

جدول ۱: مواد مورد نیاز برای هر واکنش Real Time PCR

غلظت (میکرولیتر)	اجزای تشکیل دهنده
۶/۵	Master Mix
۱	Primer
۱	cDNA
تا حجم ۱۳ میکرولیتر	DiH2O

یک نمونه کنترل منفی با عنوان NTC (No Template Control) نیز تهیه شد که شامل تمامی مواد فوق به غیر از cDNA می‌باشد. نمونه‌ها در دستگاه PCR Real time (ABI)، PCR شد (جدول ۲ و ۳).

بیان ژن P16 در بیماران CML و نمونه‌های افراد سالم به دست آمده و نتایج در برنامه REST2009 تجزیه و تحلیل شد.

در روش $\Delta\Delta Ct$ ، کارآیی PCR برای هر دو حالت و ژن House Keeping، یکسان و ۱۰۰٪ در نظر گرفته می‌شود؛ سپس با استفاده از فرمول زیر نسبت بیان ژن در دو حالت بررسی می‌شود.

شامل گلوبول‌های سفید) در یک میکروتیوب ۲ میلی‌لیتری ریخته شد. سپس یک میلی‌لیتر RNX-PLUS به رسوب سلولی اضافه گردید و آن را کاملاً مخلوط کردیم تا تمامی سلول‌ها از کف پلیت کنده شدند. مخلوط به درون یک میکروتیوب ۱/۵ میلی‌لیتری منتقل شد. به مخلوط سلولی ۳۰۰ میکرولیتر کلروفرم اضافه شد، به مدت ۱ دقیقه به شدت تکان داده شد، سپس به مدت ۱۰ دقیقه در دمای اتاق انکوبه گردید. مخلوط حاصل در دمای ۴ درجه سانتی‌گراد (در میکروسانتریفیوژ یخچال‌دار) با دور rpm ۱۲۰۰۰ به مدت ۲۰ دقیقه سانتریفیوژ شد. با احتیاط و بدون مخلوط شدن فاز وسطی، مایع بی‌رنگ رویی به میکروتیوب RNase DNase free منتقل شد. سپس ۶۰۰ تا ۸۰۰ میکرولیتر، به آن اتانول ۱۰٪ سرد اضافه و پیتاژ شد. ترکیب را به طور overnight در ۲۰- درجه سانتی‌گراد نگهداری کردیم. محلول فوق به مدت ۱۵ دقیقه در دمای ۴ درجه سانتی‌گراد (در میکروسانتریفیوژ یخچال‌دار) با دور rpm ۱۲۰۰۰ سانتریفیوژ شد. مایع رویی دور ریخته شد و به رسوب سفید رنگ، ۱ میلی‌لیتر از اتانول ۷۰٪ سرد اضافه گردید و به خوبی ورتکس شد تا رسوب از ته میکروتیوب جدا گردید. محلول مورد نظر مجدداً در دمای ۴ درجه سانتی‌گراد (در میکروسانتریفیوژ یخچال‌دار) با دور rpm ۱۲۰۰۰ این بار به مدت ۱۰ دقیقه سانتریفیوژ شد. اتانول روی رسوب دور ریخته شد. رسوب در دمای اتاق قرار داده شد تا در حد امکان خشک شود. در مرحله آخر، رسوب در ۲۰ میکرولیتر آب RNase free کاملاً حل شد و نهایتاً محلول حاصل، جهت نگهداری، به فریزر ۷۰- درجه سانتی‌گراد منتقل گردید. سپس غلظت RNA استخراج شده با روش بیوفتومتری سنجیده شد.

ساخت cDNA:

بعد از اندازه‌گیری غلظت RNA با دستگاه اسپکتروفتومتری برای مراحل ساخت cDNA از کیت سیناژن استفاده شد. ساخت cDNA بر اساس دستورالعمل این کیت صورت گرفته است. ۲ میکروگرم RNA تخلیص شده به همراه ۲۰ میکرولیتر از آغازگر راندوم هگزامر، ۶

جدول ۳: توالی آغازگرها برای بررسی بیان ژن

توالی		ژن
ATGCCTGCCGTGTGAAC	جلوبرنده	<i>B2M</i>
ATCTTCAAACCTCCATGATG	معکوس	
AAGGTCCCTCAGACATCC	جلوبرنده	<i>P16</i>
TCGGTGA CTGATGATCTAAG	معکوس	

یافته‌ها

در بررسی اختصاصیت محصول Real-time PCR از منحنی ذوب استفاده می‌شود که قله منحنی‌ها باید در راستای هم باشند (نمودار ۱).

نتایج Real Time PCR، بیان ژن *P16* در بیماران نسبت به افراد سالم پس از آنالیز در برنامه REST2009 آمده است. بیان ژن *P16* در ۳۲ بیمار CML نسبت به گروه کنترل به طور معناداری کاهش بیان و در ۸ بیمار نسبت به گروه کنترل به طور معناداری افزایش بیان را نشان داد (جدول ۴ و ۵، نمودارهای ۲ و ۳) ($p \leq 0.05$). لازم به ذکر است که ژن *B2M* به عنوان کنترل داخلی در نظر گرفته شده است.

$$\text{Fold change} = 2^{-\Delta\Delta Ct}$$

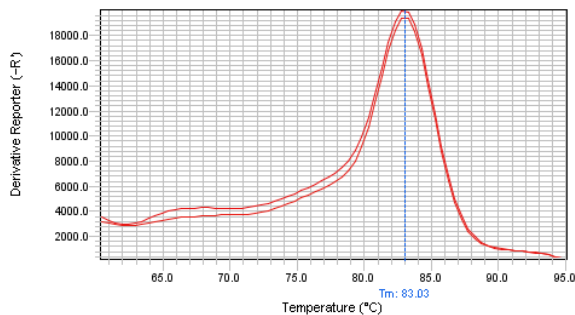
نرم افزار REST 2009 یک الگوریتم مستقل است که به منظور آنالیز بیان ژن، نتایج خام حاصل از Real Time PCR را براساس روش‌های محاسبات تصادفی (Randomization) و خود راه انداز (Bootstrapping) مورد تجزیه و تحلیل قرار می‌دهد. ضریب اطمینان (Confidense interval) حاصل از این آزمون‌ها قادر است معناداری آماری آزمون را محاسبه کرده انحراف از معیار آن‌ها را نیز اگرچه در بعضی از موارد بزرگ می‌شود، نشان دهد. نمودارهای ویشکریباکس (Wishker Box Plot) نتایج آنالیز هر ژن و پراکندگی این نتایج را نشان می‌دهند.

جدول ۲: برنامه زمانی برای واکنش Real Time PCR

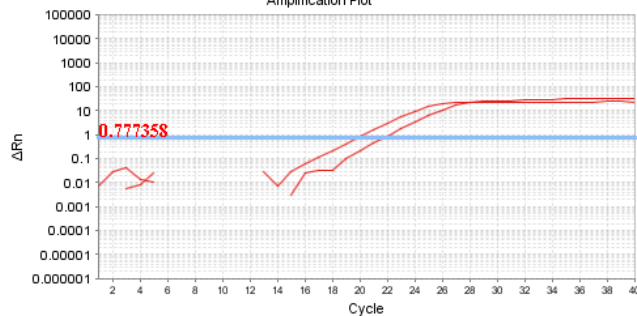
مرحله	دما (سانتی گراد)	زمان	چرخه
فعال سازی	۹۵	۳۰ ثانیه	۱
آنزیم دناتوریشن	۹۵	۵ ثانیه	۴۰
آنیلینگ و اکستنشن	۶۰	۳۰ ثانیه	۴۰

برای رسم منحنی Melt افزایش دما از ۵۰ درجه سانتی گراد تا ۹۰ درجه سانتی گراد انجام شد.

Melt Curve



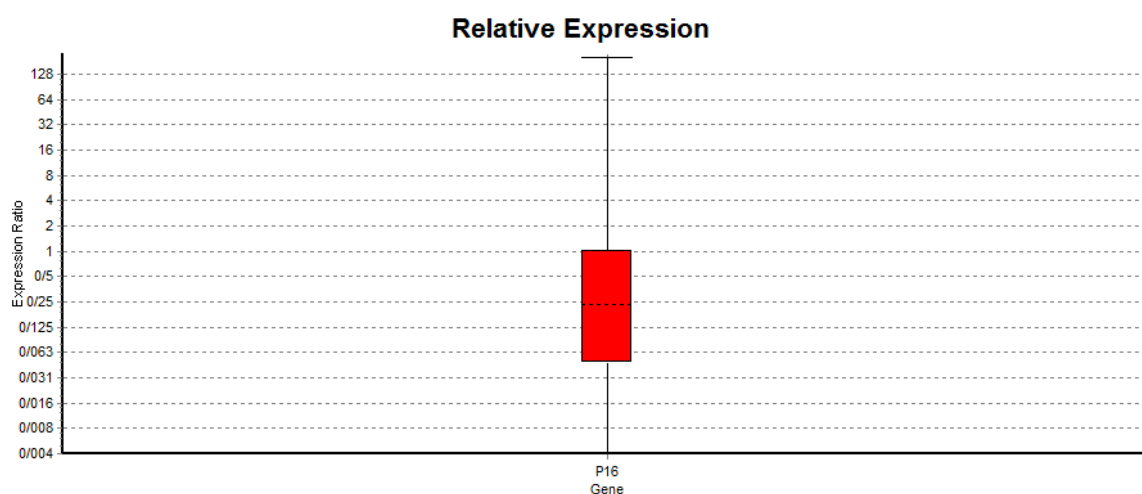
Amplification Plot



نمودار ۱: نمونه‌ای از منحنی‌های Real Time PCR برای ژن *P16*

جدول ۴: کاهش بیان ژن *P16* در ۳۲ بیمار

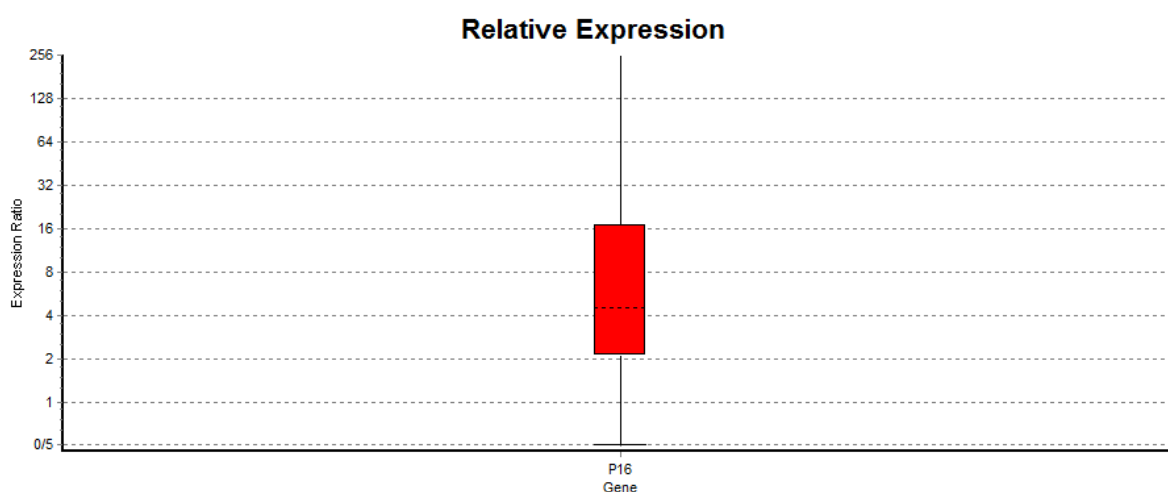
ژن	نوع	بازدهی واکنش	بیان	نتیجه
<i>B2M</i>	رفرانس	۱	۱	
<i>P16</i>	هدف	۱	۰/۲۴۸	کاهش



نمودار ۲: کاهش بیان ژن *P16* در بیماران مبتلا به لوسمی میلوئیدی مزمن ($p \leq 0/05$)

جدول ۵: افزایش بیان ژن *P16* در ۸ بیمار

ژن	نوع	بازدهی واکنش	بیان	نتیجه
<i>B2M</i>	رفرانس	۱	۱	
<i>P16</i>	هدف	۱	۷/۱۴۵	افزایش



نمودار ۳: افزایش بیان *P16* در بیماران مبتلا به لوسمی میلوئیدی مزمن ($p \leq 0/05$)

به طور معناداری کاهش و در ۸ بیمار نسبت به گروه کنترل به طور معناداری افزایش بیان داشته است. CML، به عنوان سرطانی که با ناهنجاری ژنتیکی و کروموزومی فیلادلفیا همراه است، شناخته شده است.

بحث

در این مطالعه بررسی بیان ژن *P16* در ۴۰ بیمار با روش Real Time PCR انجام شد. مطالعه حاضر نشان داد که بیان ژن *P16* در ۳۲ بیمار CML نسبت به گروه کنترل

ارتباط باشد. مطالعه‌ها نشان می‌دهد که افزایش پیری سلول در موش و در بافت‌های پوستی و کلیوی انسان به طور قابل توجهی با افزایش بیان ژن *P16* در ارتباط است (۱۸، ۱۷). علاوه بر نقش *P16* در تنظیم چرخه سلولی، این پروتئین در دیگر پروسه‌های سلولی از جمله آپوپتوز، تهاجم سلولی و آنژیوژنز نیز نقش دارد که این فعالیت‌ها ممکن است با افزایش بیان آن در سرطان مرتبط باشد (۱۹).

در دیگر سرطان‌ها نیز تومور ساپرسور *P16* بیان متفاوتی را از خود نشان داده است، گزارش‌های جدید حاکی از این است که عدم بیان *P16* با کاهش سطح رسپتورهای استروژنی و مقاومت درمانی در سرطان پستان مرتبط است (۲۰). بیان بیش از حد این ژن در تومورهای انسانی می‌تواند نشان‌دهنده دو وضعیت اصلی باشد: ۱- بیان بیش از حد در ضایعات خوش‌خیم یا پیش‌بدخیم ۲- بیان بیش از حد در ضایعات بدخیم که افزایش بیان آن به نظر می‌رسد به دلیل مکانیسم توقف تکثیر سلولی به واسطه شکست مسیر RB یا رتینو پلاستوما (عفونت، جهش و یا خاموش شدن ژن RB و ...) باشد (۱۹).

هم چنین بیان این ژن از طریق فعال کردن ژن‌های دیگر که در رگ‌زایی نقش دارند، اهمیت بیشتری دارد، چون یکی از فاکتورهایی که در فرآیند تسریع تومور نقش دارد، دسترسی بافت مهاجم به تغذیه خونی است که *P16* این شرایط را فراهم می‌کند. در گزارش دیگری که در سال ۲۰۱۶ منتشر شده است، بین افزایش بیان ژن‌های *P16* و *P14*، عود بیماری و پیش‌آگهی بد بیماری ارتباط وجود دارد (۲۱).

بررسی بیان ژن *P16* نتایج متفاوتی را نشان داده است. در چندین نوع تومور کاهش بیان و در مواردی افزایش بیان داشته است (۲۷-۲۲). افزایش بیان این ژن در سرطان‌های کولورکتال و کارسینوم سلول پایه (Basal Cell Carcinoma) مشاهده شده است (۳۰-۲۸). سرطان‌های پانکراس نمونه‌ای از تومورهایی هستند که در ۹۸٪ از آن‌ها کاهش عملکرد *P16* رخ می‌دهد (۳۳-۳۱). در سال ۲۰۰۳ مطالعه مینامی و همکارانش نشان دادند که *P16* به طور قابل توجهی در خونسازی، گسترش تمایز و آپوپتوز

فعالیت پروتئین کیناز BCR-ABL علت پاتوفیزیولوژیک بیماری لوسمی میلوئیدی مزمن می‌باشد (۷). خاموش شدن یا حذف ژن‌های سرکوبگر تومور مانند *P16* و *P53* مرتبط با فنوتیپ بدخیم CML است. مطالعه‌های صورت گرفته توسط میر رشید و همکارانش ارتباط کاهش بیان این ژن با پیشروی CML را نشان می‌دهد (۸، ۷).

حذف ژن *P16* در انواعی از بدخیمی‌ها از جمله لوسمی‌های خاص دیده می‌شود که در مورد لوسمی‌ها بیشترین حذف ژنی در ALL (لوسمی لنفوبلاستیک حاد) (۳۰٪) با میزان قابل توجهی در T-ALL می‌باشد. میزان حذف در CLL (لوسمی لنفوییدی مزمن)، مالتیپل میلوما، AML (لوسمی میلوئیدی حاد)، CML و MDS (سندرم میلودیسپلازی) بسیار پایین است (۹-۱۲).

طبق مطالعه‌های صورت گرفته توسط نسیف و همکاران، افزایش بیان ژن *P16* و *P14* در ۱۸ بیمار در فاز مزمن CML و ۴ بیمار در فاز بلاستیک CML نشان داده شده است (۱۳). این افزایش بیان با مطالعه‌های لی و همکارانش مطابقت دارد (۱۲). افزایش *P16* می‌تواند در به تاخیر انداختن پیشروی بیماری نقش داشته باشد. هم چنین افزایش بیان *P16* در لوسمی میلوئیدی حاد نیز گزارش شده است (۱۳). اما افزایش بیان این ژن در CML بیشتر دیده می‌شود که این حالت ممکن است با پاتوفیزیولوژی این دو لوسمی مرتبط باشد. نتایج به دست آمده در دیگر لوسمی‌ها و تومورهای توپر به دلیل این که انواع جهش‌ها در CML خیلی کمتر از دیگر لوسمی‌ها رخ می‌دهد، متفاوت می‌باشد (۱۴). تانی گوش و همکارانش بیان این ژن در چندین بدخیمی هماتولوژیک را بررسی کردند که از ۸ بیمار CML، در ۵ مورد افزایش بیان *P16* گزارش شده است. هم چنین در مطالعه دیگری که بر روی نمونه مغز استخوان افراد مبتلا به CML انجام شده، افزایش بیان این ژن گزارش شده است (۱۵، ۱۴). گزارش‌های چان هو دای نشان می‌دهد که *P16* در بیماری PV (پلی‌سایتمی‌ورا) افزایش بیان دارد که با مطالعه‌های لی و همکارانش مطابقت دارد (۱۶).

به نظر می‌رسد مکانیسم پیری سلول و توقف چرخه سلولی با مسیرهای *P16Ink4a/RB* و *P14ARF/P53* در

که ژن P16 در لوسمی میلوئیدی مزمن نسبت به گروه کنترل در برخی بیماران کاهش و در برخی افزایش بیان داشت که می‌تواند نشان‌دهنده این باشد که تغییرات بیان آن با پاتوفیزیولوژی و فاز بیماری در ارتباط می‌باشد. هم چنین به مطالعه‌های دیگری نیاز است تا با مشخص کردن تغییرات بیان در تمام فازهای این بیماری نقش دقیق این ژن را مشخص نمود.

تشکر و قدردانی

این پژوهش در قالب پروژه پایان‌نامه در آزمایشگاه تحقیقات دانشکده پیراپزشکی دانشگاه علوم پزشکی البرز انجام شده است که بدین وسیله از آن‌ها قدردانی می‌شود. هم چنین از آزمایشگاه تشخیص طبی و تخصصی پیوند به خاطر کمک در جمع‌آوری نمونه‌ها تشکر می‌شود.

سلول‌های اریترئوئیدی نقش دارد، از این رو نقش این ژن در خونسازی حائز اهمیت می‌باشد (۳۴).

با توجه به مطالعه‌های انجام شده، کاهش یا بیان بیش از حد این تومور سرکوبگر می‌تواند در مکانیسم مولکولی این بیماری نقش داشته باشد و در CML با پیشرفت این بیماری در ارتباط می‌باشد، از این رو به مطالعه‌های بیشتری نیاز است تا مکانیسم و عملکرد دقیق این مهارکننده تومور در سرطان مشخص شود. پیشنهاد می‌شود در جامعه آماری وسیع‌تری و در فازهای پیشرفته‌تر این بیماری، بیان این ژن بررسی شود و هم چنین بیان این ژن در افراد تحت درمان با داروهای مهارکننده تیروزین کینازی نیز بررسی گردد.

نتیجه‌گیری

با توجه به داده‌های کسب شده، می‌توان نتیجه گرفت

References:

- Cortes J, Quintás-Cardama A, Kantarjian HM. Monitoring molecular response in chronic myeloid leukemia. *Cancer* 2011; 117(6): 1113-22.
- Miller KD, Siegel RL, Lin CC, Mariotto AB, Kramer JL, Rowland JH, et al. Cancer treatment and survivorship statistics, 2016. *CA Cancer J Clin* 2016; 66(4): 271-89.
- Warsch W, Walz C, Sexl V. JAK of all trades: JAK2-STAT5 as novel therapeutic targets in BCR-ABL1+ chronic myeloid leukemia. *Blood* 2013; 122(13): 2167-75.
- Samanta A, Perazzona B, Chakraborty S, Sun X, Modi H, Bhatia R, et al. Janus kinase 2 regulates Bcr-Abl signaling in chronic myeloid leukemia. *Leukemia* 2011; 25(3): 463-72.
- Carrasco Salas P, Fernández L, Vela M, Bueno D, González B, Valentín J, et al. The role of CDKN2A/B deletions in pediatric acute lymphoblastic leukemia. *Pediatr Hematol Oncol* 2016; 33(7-8): 415-22.
- Cividin M, Ayrault O, Sorel N, Séité P, Brizard F, Blanchet O, et al. Expression of the cell cycle regulators p14ARF and p16INK4a in chronic myeloid leukemia. *Leuk Res* 2006; 30(10): 1273-8.
- Thomas RK, Baker AC, Debiassi RM, Winckler W, Laframboise T, Lin WM, et al. High-throughput oncogene mutation profiling in human cancer. *Nat Genet* 2007; 39(3): 347-51.
- Imtiyaz A, Rashid M, Sameer G, Jamsheed J, Mariyam Z. Inactivation of P16 (INK4a) Gene by Promoter Hypermethylation is Associated with Disease Progression in Chronic Myelogenous Leukaemia. *J Carcinogene Mutagene* 2013; 4: 141.
- Rocco JW, Sidransky D. p16(MTS-1/CDKN2/INK4a) in cancer progression. *Exp Cell Res* 2001; 264(1): 42-55.
- Drexler HG. Review of alterations of the cyclin-dependent kinase inhibitor INK4 family genes p15, p16, p18 and p19 in human leukemia-lymphoma cells. *Leukemia* 1998; 12(6): 845-59.
- Ferrando AA, Neuberg DS, Staunton J, Loh ML, Huard C, Raimondi SC, et al. Gene expression signatures define novel oncogenic pathways in T cell acute lymphoblastic leukemia. *Cancer Cell* 2002; 1(1): 75-87.
- Lee YK, Park JY, Kang HJ, Cho HC. Overexpression of p16INK4A and p14ARF in haematological malignancies. *Int J Lab Hematol* 2003; 25(4): 233-7.
- Nasif KA, El-Gezawy EM, Sedeek OB, Aly SM. Concomitant Overexpression of P16 INK 4 A and P14 ARF in Chronic Myeloid Leukaemia. *Med J Cairo Univ* 2009; 77(4): 143-50.
- Krug U, Ganser A, Koeffler HP. Tumor suppressor genes in normal and malignant hematopoiesis. *Oncogene* 2002; 21(21): 3475-95.
- Taniguchi T, Chikatsu N, Takahashi S, Fujita A, Uchimaru K, Asano S, et al. Expression of p16 INK4A and p14 ARF in hematological malignancies. *Leukemia* 1999; 13(11): 1760-9.
- Dai C, Krantz SB. Increased expression of the INK4a/ARF locus in polycythemia vera. *Blood* 2001; 97(11): 3424-32.
- Zindy F, Quelle DE, Roussel MF, Sherr CJ. Expression of the p16INK4a tumor suppressor versus other INK4 family members during mouse

- development and aging. *Oncogene* 1997; 15(2): 203-11.
- 18- Ressler S, Bartkova J, Niederegger H, Bartek J, Scharffetter-Kochanek K, Jansen-Dürr P, *et al.* *p16INK4A* is a robust *in vivo* biomarker of cellular aging in human skin. *Aging Cell* 2006; 5(5): 379-89.
 - 19- Romagosa C, Simonetti S, Lopez-Vicente L, Mazo A, Leonart ME, Castellvi J, *et al.* *p16Ink4a* overexpression in cancer: a tumor suppressor gene associated with senescence and high-grade tumors. *Oncogene* 2011; 30(18): 2087-97.
 - 20- Arima Y, Hayashi N, Hayashi H, Sasaki M, Kai K, Sugihara E, *et al.* Loss of *p16* expression is associated with the stem cell characteristics of surface markers and therapeutic resistance in estrogen receptor-negative breast cancer. *Int J Cancer* 2012; 130(11): 2568-79.
 - 21- Golmohammadi R, Elyasi H, Golmohammadi M. Relationship between *P16* Expression and Breast Cancer Using Histology and Immunohistochemistry. *J Mazandaran Univ Med Sci* 2017; 27(149): 181-6. [Article in Farsi]
 - 22- Brambilla E, Gazzeri S, Moro D, Lantuejoul S, Veyrenc S, Brambilla C. Alterations of Rb pathway (Rb-*p16INK4*-cyclin D1) in preinvasive bronchial lesions. *Clin Cancer Res* 1999; 5(2): 243-50.
 - 23- Brambilla E, Moro D, Gazzeri S, Brambilla C. Alterations of expression of Rb, *p16INK4A* and cyclin D1 in non-small cell lung carcinoma and their clinical significance. *J Pathol* 1999; 188(4): 351-60.
 - 24- Ayhan S, Isisag A, Saruc M, Nese N, Demir MA, Kucukmetin NT. The role of pRB, *p16* and cyclin D1 in colonic carcinogenesis. *Hepatogastroenterology* 2010; 57(98): 251-6.
 - 25- Angiero F, Berenzi A, Benetti A, Rossi E, Del Sordo R, Sidoni A, *et al.* Expression of *p16*, p53 and Ki-67 proteins in the progression of epithelial dysplasia of the oral cavity. *Anticancer Res* 2008; 28(5A): 2535-9.
 - 26- Buajeeb W, Poomsawat S, Punyasingh J, Sanguansin S. Expression of *p16* in oral cancer and premalignant lesions. *J Oral Pathol Med* 2009; 38(1): 104-8.
 - 27- Zhao P, Mao X, Talbot IC. Aberrant cytological localization of *p16* and CDK4 in colorectal epithelia in the normal adenoma carcinoma sequence. *World journal of gastroenterology: World J Gastroenterol* 2006; 12(39): 6391-6.
 - 28- Horrée N, van Diest PJ, Sie-Go DM, Heintz AP. The invasive front in endometrial carcinoma: higher proliferation and associated derailment of cell cycle regulators. *Hum Pathol* 2007; 38(8): 1232-8.
 - 29- Svensson S, Nilsson K, Ringberg A, Landberg G. Invade or proliferate? Two contrasting events in malignant behavior governed by *p16INK4a* and an intact Rb pathway illustrated by a model system of basal cell carcinoma. *Cancer Res* 2003; 63(8): 1737-42.
 - 30- Natarajan E, Saeb M, Crum CP, Woo SB, McKee PH, Rheinwald JG. Co-expression of *p16 INK4A* and laminin 5 $\gamma 2$ by microinvasive and superficial squamous cell carcinomas *in vivo* and by migrating wound and senescent keratinocytes in culture. *Am J Pathol* 2003; 163(2): 477-91.
 - 31- Fukushima N, Sato N, Ueki T, Rosty C, Walter KM, Wilentz RE, *et al.* Aberrant methylation of preproenkephalin and *p16* genes in pancreatic intraepithelial neoplasia and pancreatic ductal adenocarcinoma. *Am J Pathol* 2002; 160(5): 1573-81.
 - 32- Bardeesy N, Aguirre AJ, Chu GC, Cheng KH, Lopez LV, Hezel AF, *et al.* Both *p16Ink4a* and the *p19Arf*-p53 pathway constrain progression of pancreatic adenocarcinoma in the mouse. *Proc Natl Acad Sci U S A* 2006; 103(15): 5947-52.
 - 33- Moore PS, Orlandini S, Zamboni G, Capelli P, Rigaud G, Falconi M, *et al.* Pancreatic tumours: molecular pathways implicated in ductal cancer are involved in ampullary but not in exocrine nonductal or endocrine tumorigenesis. *Br J Cancer* 2001; 84(2): 253-62.
 - 34- Minami R, Muta K, Umemura T, Motomura S, Abe Y, Nishimura J, *et al.* *p16 INK4a* induces differentiation and apoptosis in erythroid lineage cells. *Exp Hematol* 2003; 31(5): 355-62.

Original Article

The evaluation of *P16* in chronic myeloid leukemia patients

Barazandeh-Rokh M.¹, Nasoohi N.¹, Molaei M.², Fallah P.²

¹Faculty of Advanced Sciences and Technology, Pharmaceutical Sciences Branch, Islamic Azad University (IAUPS), Tehran, Iran

²Allied-Health Faculty, Alborz University of Medical Sciences, Karaj, Iran

Abstract

Background and Objectives

Chronic Myeloid Leukemia (CML) is a clonal disorder of the hematopoietic stem cell caused by the BCR-ABL receptor tyrosinkinase. The tumour suppressor gene of *P16* plays the key role in the cell cycle control. The inactivation of this gene is associated with tumorigenesis, pathogenesis and progression of leukemia. The aim of this study was to evaluate the expression of *P16* gene in patients with chronic myeloid leukemia for the identification of the gene expression changes so that the role of the gene in diagnosis and treatment of the disease could be determined.

Materials and Methods

In this descriptive study, the expression of *P16* gene in 40 CML patients in chronic phase and 8 healthy subjects as the control all in Payvand Medical Laboratory was examined by Real Time PCR technique. Results were analyzed using the Relative Expression Software Tool (REST2009).

Results

P16 gene expression was significantly down-regulated in 32 patients ($p \leq 0.05$), and up-regulated in 8 patients ($p \leq 0.05$) compared to the control group.

Conclusions

In conclusion, downregulation or upregulation of *P16* may be of importance in the biology of CML. Other studies are also required to elucidate the exact function of this tumor suppressor in cancer.

Key words: Myeloid Leukemia, Chronic, PCR, Hematopoietic Stem Cells

Received: 1 Sep 2017

Accepted: 20 May 2018

Correspondence: Fallah P., PhD of Hematology & Blood Banking. Allied-Health Faculty, Alborz University of Medical Sciences.

Postal Code: 3147734568, Karaj, Iran. Tel: (+9826) 34349800; Fax: (+9826) 34349802

E-mail: parvizfallah@gmail.com